

## Cu/ZnO سنتز، مشخصه یابی و خواص ضدمیکروبی نانوذرات کامپوزیتی

صفایی پسیخانی<sup>۱</sup>، سمیرا<sup>۲</sup>؛ شاه طهماسبی<sup>۱</sup>، ناصر<sup>۱</sup>؛ احمدپور<sup>۲</sup>، علی<sup>۳</sup>؛ مشرفی<sup>۴</sup>، منصور<sup>۴</sup>

<sup>۱</sup> مرکز تحقیقات نانوفناوری دانشگاه فردوسی، مشهد

<sup>۲</sup> گروه فیزیک، دانشگاه فردوسی، مشهد

<sup>۳</sup> گروه مهندسی شیمی، دانشگاه فردوسی، مشهد

<sup>۴</sup> گروه زیست شناسی، دانشگاه فردوسی، مشهد

### چکیده

نانوذرات کامپوزیتی Cu/ZnO با ۱۰ درصد ناخالصی مس با استفاده از روش‌های سل-زل و احتراق ژل تهیه شدند و فعالیت ضدمیکروبی آن‌ها در برابر باکتری E.coli به عنوان نمونه‌ای میکروبی مورد آزمایش قرار گرفت. آنالیز پودرها به منظور مشخصه یابی ویژگی‌های ساختاری نانوذرات، بوسیله طیف پراش پرتو X (XRD) و میکروسکوپ الکترونی عبوری (TEM) انجام شد. اندازه نانوبلوری نانوذرات به طور متوسط ۲۱ نانومتر با استفاده از رابطه شرر به دست آمد. تصاویر TEM تشکیل نانوذرات را با توزیع همگن در ماتریس ZnO نشان داد. نانوذرات همچنین رشد باکتری E.coli را به طور عملده کاهش دادند.

### Synthesis, characterization and antimicrobial properties of Cu/ZnO composite nanoparticles

Safaei, Samira<sup>1,2</sup>; Shahtahmasebi, Nasser<sup>1,2</sup>; Ahmadpour, Ali<sup>3</sup>; Mashreghi, Mansour<sup>4</sup>

<sup>1</sup> Nanotechnology Research Center of the Ferdowsi University, Mashhad

<sup>2</sup> Physics Department of the Ferdowsi University, Mashhad

<sup>3</sup> Chemical Engineering Department of the Ferdowsi University, Mashhad

<sup>4</sup> Biology Department of the Ferdowsi University, Mashhad

### Abstract

Cu/ZnO composite nanoparticles with 10wt% Cu impurity were prepared by the use of sol-gel and gel combustion methods and their anti-microbial activity against the Escherichia coli (E.coli) as a microbial specimen was examined. The analyze of the precursor powders was done by X-ray powder diffractometry (XRD) and transmission electron microscopy (TEM) in order to characterize the structural of the nanoparticles. An average nanocrystallite size of 21nm was obtained for Cu<sub>0.1</sub>Zn<sub>0.9</sub>O, as estimated by the Scherrer's equation. TEM images revealed the formation of nanoparticles, which were distributed homogeneously in the ZnO matrix. Nanoparticles also, inhibited the growth of E. coli significantly.

61,6110,00

ضدباکتریایی نانوذرات فلزی به دلیل اندازه و نسبت سطح به حجم

۱. مقدمه

بالای آن‌ها باشد [1].

با کاهش اندازه ذرات از میکرومتر به نانومتر، خواص حاصل از

اکسید روی (ZnO) نیمرسانایی از نوع n می‌باشد که پهنه‌ای

آن‌ها می‌تواند به طور برجسته تغییر کند. تصور می‌شود که اثر

کاف نواری آن ۳.۳ eV بوده و دارای ساختار بلوری ورتسايت

انجام شد تا ژل تر همگنی تشکیل گردد. ژل تر حاصل به مدت ۲ ساعت در دمای  $120^{\circ}\text{C}$  -  $140^{\circ}\text{C}$  گرمادهی شد تا زیروژل به دست آید. زیروژل در کورهای با دمای  $450^{\circ}\text{C}$  به مدت ۲ ساعت گرمادهی شد تا پسماندهای آلی از نمونه حذف شده و نانوکامپوزیت Cu/ZnO شکل گیرد.

**۲.۲. روش احتراف ژل** در این روش، نانوذرات از طریق یک روش سل- ژلی نسبتاً ساده با آب به عنوان حلال تهیه می‌شوند. رسوب‌دهی، احتراف و کلسینگی سریع تنها در دو مرحله با هم ترکیب می‌شوند. ابتدا محلول آبی رقیق پلیمری PVA و محلول آبی اشباع شده‌ای از  $90^{\circ}\text{C}$  درصد وزنی نیترات روی ۶ آبه و درصد وزنی نیترات مس ۳ آبه به طور جداگانه تهیه شده و در دمای اتاق به مدت ۲ ساعت تحت هم‌زن مغناطیسی قرار گرفته و مخلوط شدند. سپس تحت هم‌زن شدیدی گرمادهی شده تا همه آب موجود تبخیر شود. دما را روی  $200^{\circ}\text{C}$  نگه داشته تا تخریب حرارتی پلیمر به طور کامل صورت گیرد. مواد نانوساختار پس از کلسینه کردن پودر اولیه به مدت ۲ ساعت در کورهای با دمای  $450^{\circ}\text{C}$  به دست آمدند.

**۳.۲. مشخصه یابی نمونه‌ها** پودرهای اکسید فلزی با استفاده از میکروسکپ الکترونی عبوری (TEM) و طیف پراش اشعه X (XRD) مشخصه یابی شدند. اندازه ذره با رابطه شر  $d = \frac{0.9\lambda}{B \cos \theta_B}$  تخمین زده شد. که در آن  $\lambda$  طول موج،

ZnO به عنوان نمونه‌ای از نانوذرات شش گوشی می‌باشد [2-3]. معدنی چند عاملی فعالیت ضدمیکروبی شدیدی را در برابر طیف گسترده‌ای از باکتری‌ها از خود نشان داده است. نفوذ از پوشش سلولی و تخریب غشای باکتری به محض تماس با نانوذرات نشان‌دهنده توقف رشد باکتری است [4-5].

در این پژوهه، ما به تهیه و مشخصه‌یابی نانوذرات کامپوزیتی  $\text{Cu}_{0.1}\text{Zn}_{0.9}\text{O}$  که با دو روش سل- ژل و احتراف ژل تولید می‌شوند، می‌پردازیم. هدف اصلی ما، مطالعه فعالیت ضدمیکروبی نانوذرات در برابر میکرووارگانیسم‌هاست.

## ۲. کار آزمایشگاهی

**۱.۲. روش سل - ژل** در این روش سل با استفاده از نیترات روی ۶ آبه، نیترات مس ۲ آبه، اتیلن گلیکول، اسید استیک، اتانول خالص و آب مقطر تهیه شد. ابتدا محلولی از ترکیب آب و اتانول با نسبت (۵۰:۵۰) برای حل نیترات روی و نیترات مس مورد استفاده قرار گرفت. بعد از مخلوط شدن کامل ترکیب با هم‌زن مغناطیسی، اتیلن گلیکول به عنوان عامل پلیمرساز و اسید استیک به عنوان عامل کمپلکس ساز به محلول اضافه شدند. محلول به مدت ۳۰ دقیقه تحت دمای  $50^{\circ}\text{C}$  -  $60^{\circ}\text{C}$  هم‌زده شد تا سل شفاف و همگنی به دست آید. سپس، محلول به مدت ۴ ساعت در دمای  $100^{\circ}\text{C}$  تحت عمل رفلکس قرار گرفت. گرمادهی غیرمستقیم سل به دست آمده در حمام روغن به مدت ۱۶ ساعت در دمای  $90^{\circ}\text{C}$

شکل ۱ a,b به ترتیب تصاویر TEM نمونه های تهیه شده از دو روش سل - ژل و احتراق ژل را نشان می دهد. با توجه به تصاویر،

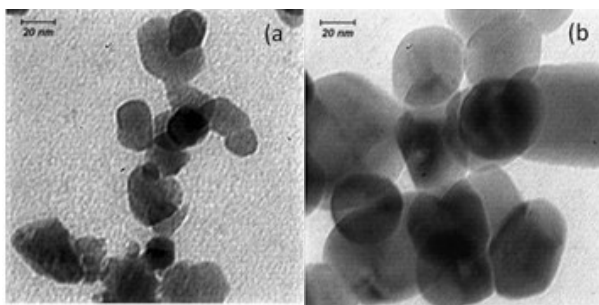
مشاهده می شود که نانوذرات به صورت همگن در ماتریس ZnO

توزیع شده اند و هیچ گونه گردآمدگی بین نانوذرات وجود ندارد. از

آنالیز تصاویر مشاهده می شود که نانوذرات، شکل نسبتاً هم محوری

را بدون داشتن لبه تیز به نمایش گذاشته اند. اندازه ذره در محدوده

۲۰-۳۲ نانومتر محاسبه شد.



شکل ۱: تصویر TEM از پودرهای نانو کامپوزیتی  $\text{Cu}_{0.1}\text{Zn}_{0.9}\text{O}$  سنتز شده با روش (a) سل - ژل و (b) احتراق ژل کلسینه شده در دمای  $450^{\circ}\text{C}$

طرح پراش اشعه X نمونه ها در شکل ۲ نشان داده شده است.

پیک های پراش در هر دو نمونه، مشخصه بلوری بودن آنها را به خوبی نمایش می دهد. نتایج نشان می دهد که، اگرچه پیک های

$\text{ZnO}$  نمایان ترند اما، دو فاز  $\text{CuO}$  و  $\text{ZnO}$  نیز به طور مشترک

وجود دارند. محتملاً گونه های  $\text{Cu}^{2+}$  به ماتریس  $\text{ZnO}$  مهاجرت

کرده و موقعیت هایی را در وجود قطبی آن اشغال کرده اند. قطر

میانگین ذره ای هر دو نمونه، با رابطه شرر ۲۱ نانومتر تخمین زده است.

پهنه ای متوسط در نصف ارتفاع بیشینه و  $\theta_B$  زاویه برآگی می باشد.

## ۴.۲. فعالیت ضد میکروبی $\text{Cu}_{0.1}\text{Zn}_{0.9}\text{O}$

عمل میکروب کشی با مشاهده میزان بقای بакتری E.coli اندازه گیری شد.

۴.۲.۱. تهیه ارگانیسم بакتری E.coli به مدت یک شب آن روز در محیط کشت LB در دمای  $37^{\circ}\text{C}$  تحت چرخش در یک شیکر رشد کرد.

۴.۲.۲. رشد یا عدم رشد بacteriایی در حضور نانوذرات به منظور تست رشد یا عدم رشد بacteriایی در حضور نانوذرات، بacterی E.coli که در ۱۰۰ میلی لیتر LB رشد کرده بود با دوز مشخصی از نانوذرات تلفیق شد. سپس نمونه حاوی بacterی و نانوذرات در ارلن ریخته شده و روی سطح صاف شیکری با سرعت ۱۵۰ دور بر دقیقه و در دمای  $37^{\circ}\text{C}$  قرار داده شد. میزان رشد یا عدم رشد بacterی با اندازه گیری OD در طول موج ۶۰۰ نانومتر تعیین شد و منحنی رشد آن نیز ترسیم گردید.

## ۳. شرح نتایج

### ۳.۱. مشخصه یابی ساختاری نانوذرات کامپوزیتی $\text{Cu}_{0.1}\text{Zn}_{0.9}\text{O}$

## نتیجه گیری

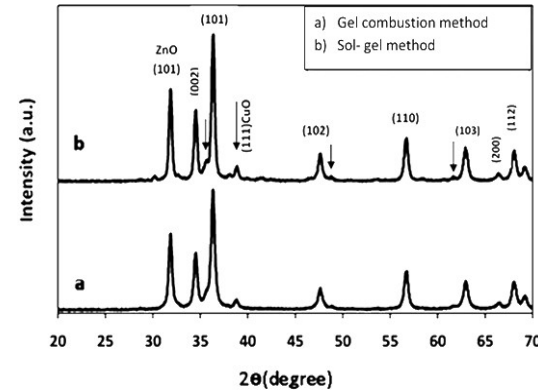
در این پژوهه نانوذرات کامپوزیتی  $\text{Cu}_{0.1}\text{Zn}_{0.9}\text{O}$  با دو روش سل-ژل و احتراق ژل تهیه شدند. داده‌های XRD و TEM منجر

به تعیین اندازه دانه در محدوده ۲۰-۳۲ نانومتر در هر دو روش شدند. نانوذرات مورفولوژی همگنی را با شکل تقریباً هم‌محوری از خود نشان دادند. خواص ضدمیکروبی نمونه‌های حاصل از دو

روش نیز با یکدیگر مقایسه شد. هر دو گروه از نانوذرات خواص ضدمیکروبی خوبی دارند اما فعالیت ضدمیکروبی نانوذرات سل-ژل نسبتاً بهتر از نانوذرات حاصل از روش احتراق ژل است.

## مرجع‌ها

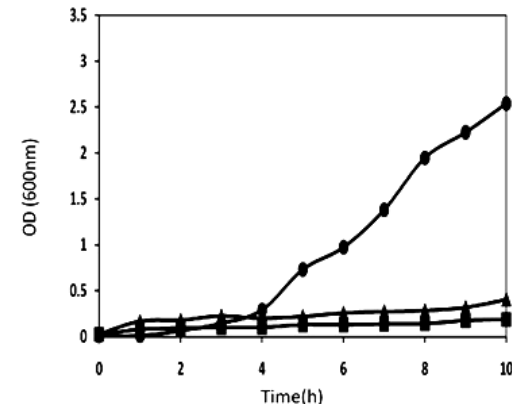
- [1] Guogang Ren<sup>a</sup>, Dawei Hu<sup>b</sup>, Eileen W.C. Cheng<sup>b</sup>, Miguel A. Vargas-Reus<sup>c</sup>, Paul Reip<sup>d</sup>, Robert P. Allaker<sup>c\*</sup>; "Characterisation of copper oxide nanoparticles for antimicrobial applications"; International Journal of Antimicrobial Agents 33 (2009) 587-590.
- [2] Benxia Li <sup>\*</sup>, Yanfen Wang; "Facile synthesis and photocatalytic activity of ZnO-CuO nanocomposite"; Superlattices and Microstructures 47 (2010) 615\_623.
- [3] N. J. Awang, M. Aziz and A.R.M. Yusoff; " SOL-GEL PREPARATION AND CHARACTERIZATION OF ZnO DOPED THIN SOLID FILMS SUITABLE FOR SOLAR CELL"; Solid State Science and Technology, Vol. 16, No 1 (2008) 45-54.
- [4] Hailin Cong, Maciej Radosz, Brian Francis Towler, Youqing Shen <sup>\*</sup>; "Polymer-inorganic nanocomposite membranes for gas separation"; Separation and Purification Technology 55 (2007) 281-291.
- [5] S. Shanmugam, B. Viswanathan\*, T.K. Varadarajan; "The preparation of metal oxygen molecular cluster embedded organic-inorganic nanocomposite and its rectification behavior"; Materials Chemistry and Physics 112 (2008) 863-868.



شکل ۲: طرح پراش اشعه X پودرهای نانوکامپوزیتی  $\text{Cu}_{0.1}\text{Zn}_{0.9}\text{O}$  سنتز شده با روش (a) احتراق ژل و (b) سل-ژل کلسینه شده در دمای  $450^{\circ}\text{C}$

## ۲.۳. غیرفعال شدن باکتری توسط نانوذرات

فعالیت ضدمیکروبی نانوذرات در برابر باکتری *E.coli* انجام شد. شکل ۳ خاصیت میکروب کشی نانوذرات را نشان می‌دهد. مشاهده می‌شود که در یک زمان ثابت، هر دو نمونه سنتز شده رشد باکتری مورد آزمایش را کاهش داده‌اند. اما در مقایسه با نانوذرات سنتز شده با روش احتراق ژل، کاهش تعداد سلول‌ها توسط نانوذرات سل-ژل نسبتاً بیشتر بوده است.



شکل ۳: منحنی رشد (●) باکتری *E.coli* (شاهد) و باکتری *E.coli* در حضور نانوذرات  $\text{Cu}_{0.1}\text{Zn}_{0.9}\text{O}$  سنتز شده با روش (▲) احتراق ژل و (■) سل-ژل